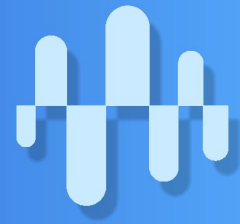


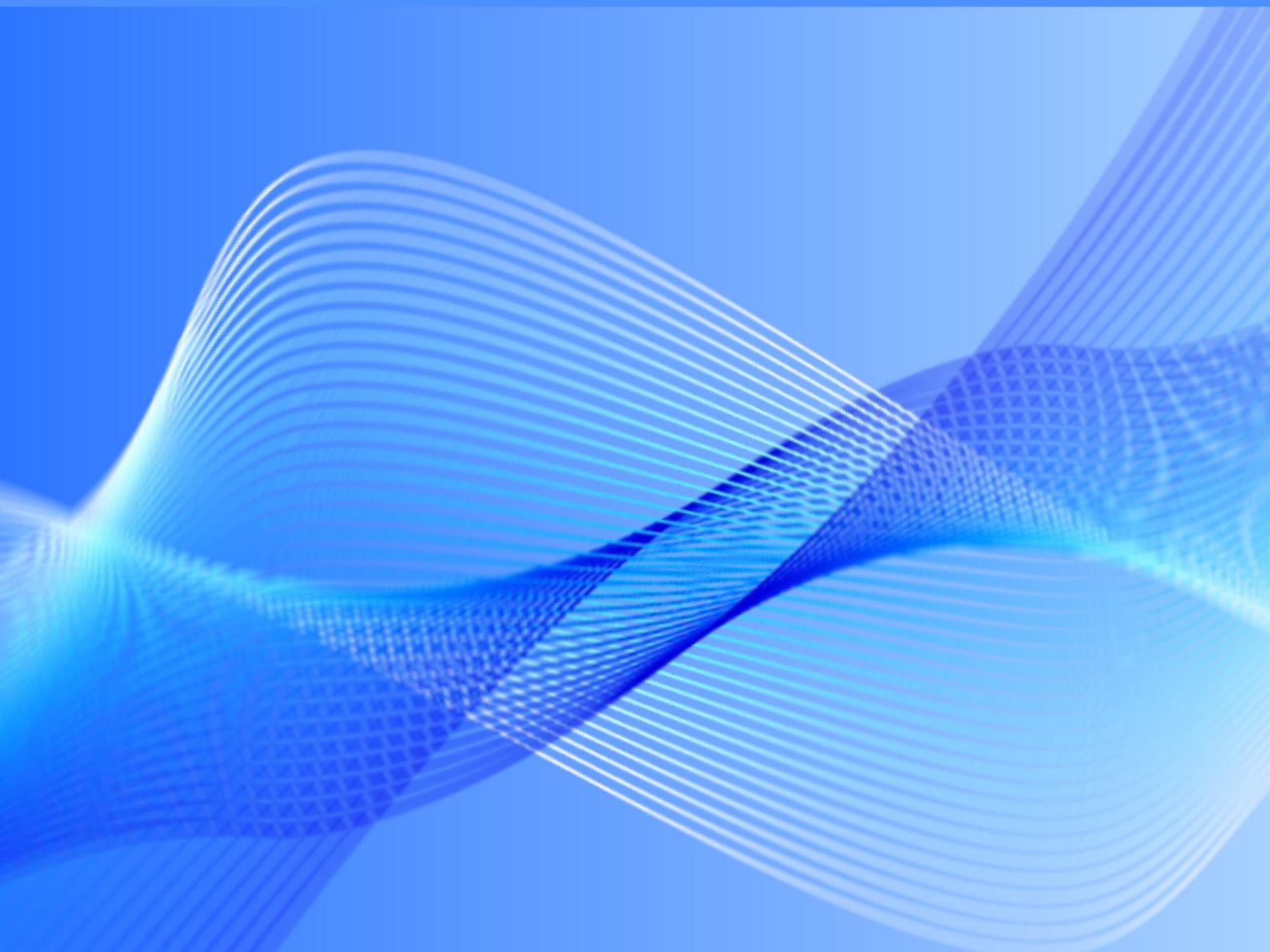
Динамика и виброакустика



Dynamics and vibroacoustics

ISSN 2409-4579

Том 11 - №1 - 2025 год



САМАРСКИЙ УНИВЕРСИТЕТ
SAMARA UNIVERSITY

СОДЕРЖАНИЕ

Выбор марки материала и твёрдости рабочей поверхности зубьев динамически нагруженных зубчатых передач <i>И. С. Барманов</i>	7
Моделирование автоматизированной системы коррекции перемещений инструментального центра промышленного робота-манипулятора при выполнении технологических операций по сложному криволинейному контуру <i>Н. А. Сазонникова, В. Н. Илюхин, Е. К. Ермаков, Д. А. Мезенцев</i>	14
Увеличение долговечности роторных подшипников газотурбинного двигателя с воздушно-топливной системой смазки <i>В. Н. Климов, С. В. Фалалеев</i>	27
Влияние сил упругого псевдопроскальзывания колёсных пар на возникновение ударных импульсов в поезде <i>Д. В. Морозов, И. Ю. Ермоленко, А. А. Пыхалов</i>	40
Энергетическая математическая модель авиационного блока передачи мощности <i>С. Ю. Константинов, Д. А. Кудерко, Н. А. Поляков, В. А. Целищев</i>	51
Определение дополнительных напряжений в коленчатом вале поршневого компрессора от действий вынужденных крутильных колебаний при резонансе <i>П. Н. Капустин</i>	62
Влияние различных методов поверхностного пластического деформирования на многоцикловую усталость образцов с надрезами <i>В. Ф. Павлов, В. П. Сазанов, В. С. Вакулюк, О. Ю. Семёнова, И. Ю. Коваль</i>	78
Автоматизация стенда по исследованию магнитного гистерезиса демпфера на основе многослойного магнитореологического эластомера <i>Б. С. Табакаев, А. М. Базиненков, Л. В. Костин</i>	87
Определение бокового зазора шестерён планетарного редуктора как источника вибрации в ГТД с использованием сигнала штатного тахометра <i>А. Е. Сундуков, Е. В. Шахматов</i>	96
Анализ сигналов вибрации малоразмерных авиадвигателей на основе совместного времени-частотного метода <i>Май Синь, Хуэй Цинь, Чжифэн Е, Линьян Ван</i>	105

CONTENTS

Selection of the material grade and hardness of the working surface of the teeth of dynamically loaded gears	
<i>I. S. Barmanov</i>	7
Modeling of an automated system for correction of the tool center point displacement of an industrial robotic manipulator during the execution of technological operations along a complex curved contour	
<i>N. A. Sazonnikova, V. N. Ilyukhin, E. K. Ermakov, D. A. Mezentsev</i>	14
Increasing the longevity of rotary bearings in gas turbine engines with air-fuel lubrication systems	
<i>V. N. Klimov, S. V. Falaleev</i>	27
Influence of forces of elastic pseudo-slipage of wheel pairs on the occurrence of shock pulses in the train	
<i>D. V. Morozov, I. Yu. Ermolenko, A. A. Pykhalov</i>	40
Energy mathematical model of an aircraft power transfer unit	
<i>S. Y. Konstantinov, D. A. Kuderko, N. A. Polykov, V. A. Tselischev</i>	51
Determination of additional stresses in the crankshaft of a reciprocating compressor caused by forced torsional vibrations at resonance point	
<i>P. N. Kapustin</i>	62
Effect of different surface plastic deformation methods on high-cycle fatigue of notched specimens	
<i>V. F. Pavlov, V. P. Sazanov, V. S. Vakulyuk, O. Y. Semenova, I. Y. Koval'</i>	78
Automation of a test bench for studying the magnetic hysteresis of a damper based on multilayer magnetorheological elastomer	
<i>V. S. Tabakaev, A. M. Bazinenkov, L. V. Kostin</i>	87
Determination flank clearance of gears of a planetary gearbox as a vibration source in a gas turbine engine using a standard tachometer signal	
<i>A. E. Sundukov, E. V. Shakhmatov</i>	96
Analysis of vibration signals of micro-size aircraft engines based on joint time-frequency method	
<i>Mai Xin, Hui Qin, Zhifeng Ye, Lingyan Wang</i>	105